



## تعمیم‌هایی از اطلاع کولبک-لیبلر بر اساس تابع بقا

هدیه افتخاری مودی<sup>\*</sup>، هادی علیزاده نوqابی<sup>\*</sup>، محمد خراشادی‌زاده

گروه آمار، دانشگاه بیرجند، بیرجند، ایران

دبير مسئول: غلامرضا محتشمی برزادران

تاریخ پذیرش: ۹۹/۱۲/۵

تاریخ دریافت: ۹۹/۸/۲۸

چکیده: در این مقاله ابتدا به برخی از تعمیم‌های اطلاع کولبک-لیبلر و خواص آن‌ها پرداخته می‌شود. سپس شرایط گشتاوری برای توزیع ماکسیمم آنتروپی مانده‌ی تجمعی بررسی و رابطه‌ی بین اطلاع کولبک-لیبلر مانده‌ی تجمعی ( $CRE$ ) و آنتروپی مانده‌ی تجمعی ( $CRKL$ ) مطالعه می‌شود. همچنین در مورد روش‌های برآورده پارامتر مقیاس توزیع رایلی بحث شده و دو روش برآورده آن ارائه می‌شود. در ادامه اطلاع کولبک-لیبلر مانده‌ی تجمعی را به عنوان یک آماره آزمون نیکویی برآش به کار برده و سپس مقادیر بحرانی و توان آزمون‌های پیشنهادی محاسبه و با توان سایر آزمون‌ها مقایسه می‌شود. در پایان، آزمون‌ها برای یک مجموعه داده‌ی واقعی به کار گرفته می‌شود.

واژه‌های کلیدی: آزمون نیکویی برآش، آنتروپی مانده‌ی تجمعی، اطلاع کولبک-لیبلر، اطلاع کولبک-لیبلر مانده‌ی تجمعی، توان آزمون، شبیه سازی مونت کارلو.

ردبهندی ریاضی: 62G10; 62G20

### ۱ مقدمه

در قضایی آمار و احتمال، توزیع رایلی یک توزیع احتمالی پیوسته برای متغیرهای تصادفی با مقادیر مثبت است. به طور مثال می‌توان سرعت باد را دارای این توزیع دانست.

اگر متغیر تصادفی  $X$  دارای تابع چگالی احتمال به صورت

$$f(x, \theta) = \frac{x}{\theta^2} e^{-\frac{x}{2\theta^2}} \quad x \geq 0,$$

باشد، گوییم  $X$  دارای توزیع رایلی با پارامتر  $\theta$  است. همچنین تابع توزیع تجمعی آن به صورت

$$F(x, \theta) = 1 - e^{-\frac{x}{2\theta^2}} \quad x \geq 0,$$

<sup>\*</sup>نویسنده مسئول مقاله

رایانامه: (Hadi Alizadeh Noughabi), [alizadehhadi@birjand.ac.ir](mailto:alizadehhadi@birjand.ac.ir)

است. در نظریه‌ی اطلاع مهمترین معیار اندازه‌گیری عدم حتمیت، آنتروپی شانون است که برای متغیرهای گسسته معرفی می‌شود<sup>۲۳</sup>. فرض کنید متغیر تصادفی  $X$  دارای تابع توزیع  $f(x)$  و تابع چگالی پیوسته‌ی  $(x)$  باشد، تعمیم آنتروپی شانون به صورت

$$H(f) = - \int_{-\infty}^{+\infty} f(x) \log f(x) dx,$$

تعریف می‌شود. به دلیل تفاوت‌هایی که با تعمیم آنتروپی شانون به حالت پیوسته به وجود آمد تلاش‌های متعددی برای تعریف معیارهای جدیدی از اطلاع صورت گرفت. یکی از این معیارها، آنتروپی مانده‌ی تجمعی<sup>†</sup>  $CRE$  است که توسط راؤ و همکاران<sup>۲۴</sup> با جایگزینی تابع بقا ( $\bar{F}$ ) به جای تابع چگالی در آنتروپی شانون معرفی شد و به فرم

$$CRE(F) = - \int_{-\infty}^{+\infty} \bar{F}(x) \log \bar{F}(x) dx,$$

بیان شد. همچنین دیکشنزو و لانگوباردی<sup>۲۵</sup> معیار دیگری تحت عنوان آنتروپی تجمعی  $CE$ <sup>‡</sup> ارائه دادند که با جایگزین کردن تابع توزیع به جای تابع چگالی در آنتروپی شانون حاصل می‌شود و به شکل

$$CE(F) = - \int_{-\infty}^{+\infty} F(x) \log F(x) dx,$$

تعریف می‌شود. اطلاع کولبک-لیبلر ( $KL$ )<sup>§</sup> اندازه اطلاع اختلاف بین  $f(x)$  و  $g(x)$  است که به صورت

$$KL(g : f) = \int_{-\infty}^{+\infty} g(x) \log \frac{g(x)}{f(x)} dx,$$

تعریف می‌شود. از ویژگی‌های اطلاع کولبک-لیبلر می‌توان به نامنفی بودن آن اشاره کرد. همچنین این معیار برابر صفر می‌شود اگر و فقط اگر  $g(x) = f(x)$  باشد. اگر شرط

$$\int_{-\infty}^{+\infty} g(x) \log f(x) dx = \int_{-\infty}^{+\infty} f(x) \log f(x) dx, \quad (1.1)$$

برقرار باشد، آنگاه می‌توان اطلاع کولبک-لیبلر را به صورت

$$KL(g : f) = H(f) - H(g), \quad (2.1)$$

نوشت. رابطه‌ی (2.1) نشان می‌دهد که  $H(f)$  بزرگتر از آنتروپی هر تابع چگالی  $(g)$  است که شرط (1.1) برای آن برقرار است. بنابراین  $f$  توزیع ماسکسیمم آنتروپی ( $ME$ ) در بین کلاس توزیع‌هایی است که شرط گشتاوری (1.1) برای آنها برقرار است. اخیراً برخی از پژوهشگران توجه خود را روی موضوع آنتروپی تجمعی و اطلاع کولبک-لیبلر برای تابع بقا، معطوف کرده‌اند که از جمله آن‌ها می‌توان به [۱۷]، [۱۸]، [۱۹]، [۲۰] و [۲۱] اشاره کرد، که این دانشمندان تعیین‌هایی را نیز در این زمینه پیشنهاد کرده‌اند. همچنین افرادی همچون پارک و پاکیاری<sup>۲۶</sup> و بالاکریشنان و همکاران<sup>۲۷</sup> اطلاع کولبک-لیبلر را برای داده‌های سانسور شده‌ی نوع II بررسی کردن. پارک و همکاران<sup>۲۸</sup> و سیومارا و پانیات<sup>۲۹</sup> ویژگی‌هایی از اطلاع کولبک-لیبلر تعیین یافته را بیان نمودند و سپس آزمونی برای نرمال بودن ساختند. همچنین اطلاع کولبک-لیبلر بر اساس تابع چندک نیز توسط سونوج و همکاران<sup>۳۰</sup> بحث و بررسی شده است. در این مقاله متغیرهای تصادفی نامنفی که در آن  $E(X) = \int_{-\infty}^{\infty} \bar{F}(x) dx$  است، در نظر گرفته می‌شود.

براتپور و راد<sup>۳۱</sup> اخیراً تعیینی از اطلاع کولبک-لیبلر را با استفاده از تابع بقا پیشنهاد داده‌اند که اطلاع کولبک-لیبلر مانده‌ی تجمعی ( $CRKL$ )<sup>¶</sup> نامیده می‌شود و به صورت

$$CRKL(G : F) = \int_{-\infty}^{\infty} \bar{G}(x) \log \frac{\bar{G}(x)}{F(x)} dx - (E(Y) - E(X)), \quad (3.1)$$

<sup>†</sup>Cumulative Residual Entropy

<sup>‡</sup>Cumulative Entropy

<sup>§</sup>Kullback-Leibler Information

<sup>¶</sup>Cumulative Residual Kullback-Leibler Information

قابل تعریف است. همچنین می‌توان مستقیماً تعمیم دیگری برای اطلاع کولبک لیبلر با استفاده ازتابع توزیع تجمعی بیان کرد که اطلاع  $CKL$ <sup>۱۰</sup> نامیده می‌شود و به شکل

$$CKL(G : F) = \int_0^\infty G(x) \log \frac{G(x)}{F(x)} dx + E(Y) - E(X), \quad (۴.۱)$$

بیان می‌شود.

در این مقاله، ابتدا تعمیم‌هایی از اطلاع کولبک-لیبلر بیان می‌شود. سپس رابطه‌ی بین آنتروپی مانده‌ی تجمعی ( $CRE$ ) و اطلاع کولبک-لیبلر مانده‌ی تجمعی ( $CRKL$ ) را بیان کرده و شرایط گشتاوری برای توزیع ماکسیمم آنتروپی مانده‌ی تجمعی ( $CRE$ ) بررسی می‌شود. سپس دو روش برای برآورد پارامتر مقیاس توزیع رایلی بر اساس ماکسیمم آنتروپی مانده‌ی تجمعی ( $CRE$ ) و مینیمم اطلاع کولبک-لیبلر مانده‌ی تجمعی ( $CRKL$ ) معرفی می‌شود. در ادامه اطلاع کولبک-لیبلر مانده‌ی تجمعی ( $CRKL$ ) به عنوان یک آماره آزمون نیکوبی برآش برای توزیع رایلی به کار برده شده و توان این آزمون محاسبه و با توان سایر آزمون‌ها مورد مقایسه قرار می‌گیرد. در پایان آماره آزمون‌ها برای یک مجموعه داده واقعی به کار گرفته می‌شود.

## ۲ برخی از تعمیم‌های اطلاع کولبک-لیبلر

در این بخش ابتدا تعمیمی از اطلاع کولبک-لیبلر بر اساس تابع بقا که توسط پارک و همکاران<sup>[۱۹]</sup> ارائه شده است معرفی می‌شود. از آنجایی که تعمیم مستقیم تابع بقا به صورت

$$\int_0^\infty \bar{G}(x) \log \frac{\bar{G}(x)}{F(x)} dx,$$

خاصیت نامنفی بودن را حفظ نمی‌کند، لذا از عبارت  $\frac{\bar{F}(x)}{E(X)}$  و  $\frac{\bar{G}(x)}{E(Y)}$ ، با این شرط که  $1$  باشد  $\int_0^\infty \frac{\bar{F}(x)}{E(X)} dx = \int_0^\infty \frac{\bar{G}(x)}{E(Y)} dx = \frac{\bar{F}(x)}{E(X)} + \frac{\bar{G}(x)}{E(Y)}$  استفاده می‌شود. اطلاع کولبک-لیبلر  $\frac{\bar{G}(x)}{E(Y)} + \frac{\bar{F}(x)}{E(X)}$  را می‌توان به صورت

$$\begin{aligned} KL\left(\frac{\bar{G}(x)}{E(Y)} : \frac{\bar{F}(x)}{E(X)}\right) &= \int_0^\infty \frac{\bar{G}(x)}{E(Y)} \log \frac{\bar{G}(x)}{\frac{\bar{F}(x)}{E(X)}} dx \\ &= \frac{1}{E(Y)} \int_0^\infty \bar{G}(x) \log \frac{\bar{G}(x)}{\bar{F}(x)} dx - \log \frac{E(Y)}{E(X)}, \end{aligned}$$

نوشت. اگر عبارت بالا در  $E(Y)$  ضرب شود آنگاه عبارت به دست آمده با رابطه‌ی (۴.۱) قابل مقایسه است که پارک و همکاران<sup>[۱۹]</sup> نام آن را  $CRKL^1(G : F)$  مشابه  $CRKL^1(G : F)$  نیز نامنفی است و برابر صفر می‌شود اگر  $F(x) = G(x)$  باشد.

براتپور و راد<sup>[۲۰]</sup> اخیراً حالت دیگری از اطلاع کولبک-لیبلر مانده‌ی تجمعی ( $CRKL$ ) ارائه دادند که به شکل

$$CRKL(G : F) = \int_0^\infty \bar{G}(x) \left( \frac{\bar{F}(x)}{\bar{G}(x)} - \log \frac{\bar{F}(x)}{\bar{G}(x)} - 1 \right) dx, \quad (۱.۲)$$

است و با تعریف ارائه شده در رابطه‌ی (۱.۱) معادل است. از آنجایی که نامساوی  $0 \geq 1 - \log u - \frac{u}{\bar{G}(x)}$  همواره برقرار است، لذا با توجه به این رابطه می‌توان دید که اطلاع کولبک-لیبلر مانده‌ی تجمعی ( $CRKL$ ) نامنفی است و برابر صفر می‌شود اگر و فقط اگر  $\bar{F}(x) = \bar{G}(x)$  باشد. همچنین از آنجا که می‌توان نشان داد نامساوی

$$E(Y) \log \frac{E(Y)}{E(X)} \geq E(Y) - E(X),$$

همواره برقرار است، لذا اطلاع کولبک-لیبلر مانده‌ی تجمعی ( $CRKL$ ) حساس تر از  $CRKL^1$  است و مقیاس فاصله‌ای مناسب تری است.

<sup>۱۰</sup>Cumulative Kullback-Leibler Information

با توجه به رابطه‌ی (۱.۲)، پارک و همکاران [۱۹] مستقیماً تعمیم زیر را برای تابع توزیع تجمعی ارائه دادند که اطلاع کولبک-لیبلر تجمعی نامیده می‌شود.

$$CKL(G : F) = \int_0^\infty G(x) \left( \frac{F(x)}{G(x)} - \log \frac{F(x)}{G(x)} - 1 \right) dx,$$

که با تعریف ارائه شده در رابطه‌ی (۴.۱) معادل است. همچنین می‌توانیم بینیم که اطلاع کولبک-لیبلر تجمعی ( $CKL$ ) نامنفی است و برابر صفر می‌شود اگر و فقط اگر  $G(x) = F(x)$  باشد.

کولبک [۱۹] اطلاع کولبک-لیبلر را بر اساس اطلاع فیشر به صورت

$$KL(f(x; \theta); f(x; \theta + \Delta\theta)) = \int_{-\infty}^{\infty} (f(x; \theta) \log \frac{(f(x; \theta))}{f(x; \theta + \Delta\theta)}) dx \approx \frac{1}{2} (\Delta\theta)^2 I(\theta),$$

تقریب زد که  $I(\theta)$  اطلاع فیشر است.

به همین ترتیب، پارک و همکاران [۱۹] رابطه‌ی مشابهی برای اطلاع کولبک-لیبلر مانده‌ی تجمعی ( $CRKL$ ) ارائه کردند که به شکل

$$CRKL(F(x; \theta); F(x; \theta + \Delta\theta)) \approx \frac{1}{2} (\Delta\theta)^2 I_{\bar{F}}(\theta), \quad (۲.۲)$$

بیان می‌شود و  $I_{\bar{F}}(\theta)$  نیز به صورت

$$I_{\bar{F}}(\theta) = - \int_0^\infty \bar{F}(x; \theta) \frac{\partial^2}{\partial \theta^2} \log \bar{F}(x; \theta) dx.$$

تعریف می‌شود. مشابه روابط فوق، رابطه‌ی

$$CKL(F(x; \theta); F(x; \theta + \Delta\theta)) \approx \frac{1}{2} (\Delta\theta)^2 I_F(\theta), \quad (۳.۲)$$

برای اطلاع کولبک-لیبلر تجمعی ( $CKL$ ) توسط پارک و همکاران [۱۹] ارائه شده است که  $I_F(\theta)$  به صورت

$$I_F(\theta) = - \int_0^\infty F(x; \theta) \frac{\partial^2}{\partial \theta^2} \log F(x; \theta) dx,$$

تعریف می‌شود. همچنین پارک و همکاران [۱۹] برای  $CKRL^1$  رابطه‌ی

$$CRKL^1(F(x; \theta); F(x; \theta + \Delta\theta)) \approx \frac{1}{2} (\Delta\theta)^2 \{ I_{\bar{F}}(\theta) + E(X) \frac{\partial^2}{\partial \theta^2} \log E(X) \}, \quad (۴.۲)$$

را نشان دادند. با توجه به روابط (۲.۲) و (۳.۲) هرگاه هدف انتخاب یکی از معیارهای  $CRKL$ ,  $CKL$ ,  $CKL^1$  و  $CKRL^1$  باشد، کافیست به ترتیب  $I_{\bar{F}}(\theta) + E(X) \frac{\partial^2}{\partial \theta^2} \log E(X)$ ,  $I_F(\theta)$ ,  $I_{\bar{F}}(\theta)$  و  $E(X) \frac{\partial^2}{\partial \theta^2} \log E(X)$  مقایسه شوند.

### ۳ رابطه بین اطلاع کولبک-لیبلر مانده‌ی تجمعی و آنتروپی مانده‌ی تجمعی

همان‌طور که در بخش ۲ در روابط (۱.۱) و (۲.۱) بیان شد، طبق شرط

$$\int_{-\infty}^{+\infty} g(x) \log f(x) dx = \int_{-\infty}^{+\infty} f(x) \log f(x) dx,$$

می‌توان اطلاع کولبک-لیبلر را به صورت

$$KL(g : f) = H(f) - H(g),$$

نوشت. مطابق رابطه‌ی فوق می‌توان رابطه بین اطلاع کولبک-لیبلر مانده‌ی تجمعی ( $CRKL$ ) و آنتروپی مانده‌ی تجمعی ( $CRE$ ) را به شرح زیر بررسی کرد. اگر شرط

$$\int_0^\infty \bar{G}(x) \log \bar{F}(x) dx + E(Y) = \int_0^\infty \bar{F}(x) \log \bar{F}(x) dx + E(X),$$

برقرار باشد، آنگاه

$$CRKL(G; F) = CRE(F) - CRE(G). \quad (۱.۳)$$

مثال ۱.۳. فرض کنید  $F(x) = 1 - \exp\left(\frac{-x^3}{\theta^3}\right)$  آنگاه با توجه به رابطه‌ی (۱.۳) داریم،

$$\frac{-1}{6\theta^3}E_G(X^3) + E_G(X) = \frac{-1}{6\theta^3}E_F(X^3) + E_F(X). \quad (2.3)$$

رابطه‌ی (۲.۳) به ازای هر  $\theta$  برقرار است اگر  $E_G(X) = E_F(X)$  و  $E_G(X^3) = E_F(X^3)$  باشد. توزیع رایلی با پارامتر  $\theta$  آنتروپی مانده‌ی تجمعی  $(CRE)$  را با شرط  $E(X^3) - 6\theta^3 E(X) + 3\theta^3 \sqrt{\frac{\pi}{3}} = 0$  در بین توزیع‌های مطلقاً پیوسته با تکیه گاه  $(0, \infty)$ ، ماسکیمم می‌کند. بنابراین متغیر تصادفی  $X$ ، آنتروپی مانده‌ی تجمعی  $(CRE)$  را در بین تمام متغیرهای تصادفی مطلقاً پیوسته‌ی نامنفی  $Y$ ، ماسکیمم می‌کند با این شرط که اگر  $E(Y^3) = w$  و  $E(Y) = v$  باشد، داشته باشیم  $\theta^3 = \frac{w}{3v}$ .

فرض کنید  $G(x)$  و  $F(x)$  به ترتیب تابع توزیع تجربی  $(F_n(x))$  و یک تابع توزیع پارامتری  $(F_\theta(x))$  باشند، آنتروپی مانده‌ی تجمعی بر اساس این دو تابع به صورت

$$CRE(F_n) = -\sum_{i=0}^n \frac{n-i}{n} \log \frac{n-i}{n} (x_{i+1} - x_i), \quad (3.3)$$

به دست می‌آید. همچنین اطلاع کولبک-لیبلر مانده‌ی تجمعی  $(CRKL)$  بین  $F_n$  و  $F_\theta$  به صورت

$$CRKL(F_n, F_\theta) = -CRE(F_n) - \sum_{i=0}^n \frac{n-i}{n} \int_{x_i}^{x_{i+1}} \log \bar{F}_\theta(x) dx - (\bar{x} - E_{F_\theta}(X)), \quad (4.3)$$

است. رابطه‌ی (۴.۳) می‌تواند با انتخاب یک برآورگر پارامتری مناسب برای  $\theta$ ، برآورد  $\theta$  را در نظر گرفته شده است:

- شرایط گشتاوری برای ماسکیمم آنتروپی مانده‌ی تجمعی  $(CRE)$  برقرار باشد.

- مینیمم کردن اطلاع کولبک-لیبلر مانده‌ی تجمعی  $(CRKL)$

برای مینیمم کردن  $(CRKL)$  می‌توان به کمک روش مینیمم کردن اطلاع تشخیص  $MDI^{xx}$  از رابطه‌ی

$$\begin{aligned} \hat{\theta} &= \arg \min_{\theta} CRKL(F_n, F_\theta) \\ &= \arg \max_{\theta} \left\{ \sum_{i=0}^n \frac{n-i}{n} \int_{x_i}^{x_{i+1}} \log \bar{F}_\theta(x) dx - E_{F_\theta}(X) \right\}, \end{aligned}$$

استفاده کرد.

مثال ۲.۳. برای توزیع رایلی با تابع بقا به شکل  $\bar{F}(x) = e^{\frac{-x^3}{\theta^3}}$  به دست آمده از روش ماسکیمم آنتروپی مانده‌ی تجمعی  $(CRE)$  برابر

$$\hat{\theta}_m = \left( \frac{\sum_{i=1}^n x_i^3}{3 \sum_{i=1}^n x_i} \right)^{\frac{1}{3}},$$

است.

از آنجا که اطلاع کولبک-لیبلر مانده‌ی تجمعی  $(CRKL)$  بین  $F_n$  و  $F_\theta$  برای توزیع رایلی طبق رابطه‌ی (۴.۳) به صورت

$$CRKL(F_n, F_\theta) = \frac{1}{6n\theta^3} \sum_{i=1}^n x_i^3 - \left( \bar{x} - \theta \sqrt{\frac{\pi}{3}} \right) - CRE(F_n),$$

به دست می‌آید. لذا  $\hat{\theta}$  به دست آمده از روش مینیمم کردن اطلاع کولبک-لیبلر مانده‌ی تجمعی  $(CRKL)$  برابر

$$\hat{\theta}_{MDI} = \left( \frac{\sum_{i=1}^n x_i^3}{3n \sqrt{\frac{\pi}{3}}} \right)^{\frac{1}{3}},$$

است.

---

<sup>xx</sup> Minimum Discrimination Information

توجه داریم که برآورده گشتاوری  $\hat{\theta}_m$  با برآورده مینیمم کننده اطلاع کولبک-لیبلر مانده تجمعی ( $CRKL$ ) متفاوت است و داریم:

$$CRKL(F_n, F_{\hat{\theta}_{MDI}}) \leq CRKL(F_n, F_{\hat{\theta}_m}).$$

## ۴ کاربرد اطلاع کولبک-لیبلر مانده تجمعی برای آزمون نیکویی برآذش توزیع رایلی

پارک و همکاران [۱۹] و زهرهوند و همکاران [۲۶] براساس اطلاع کولبک-لیبلر مانده تجمعی آزمون‌هایی برای نیکویی برآذش توزیع نمایی ارائه دادند و توان آزمون‌های پیشنهادی را با دیگر آزمون‌ها مقایسه کردند. در این بخش ما قصد داریم آزمون‌های مشابهی برای توزیع رایلی به دست آوریم.

از آنجایی که اطلاع کولبک-لیبلر مانده تجمعی ( $CRKL$ ) به پارامتر مقیاس وابسته است لذا اطلاع کولبک-لیبلر مانده تجمعی ( $CRKL$ ) نمی‌تواند به عنوان یک آماره آزمون نیکویی برآذش استفاده شود. بنابراین باید آماره آزمون را به گونه‌ای در نظر گرفت که در مقیاس پایا باشد. می‌توان اطلاع کولبک-لیبلر مانده تجمعی ( $CRKL$ ) برای توزیع رایلی را با تقسیم بر پارامتر مقیاسی برآورد شده به صورت

$$\begin{aligned} T_1 &= \frac{1}{\hat{\theta}_1} CRKL(F_n, F_{\hat{\theta}_1}) \\ &= \frac{1}{\sqrt{\sum_{i=1}^n x_i^2}} \left( \frac{\sum_{i=1}^n x_i^3}{3 \sum_{i=1}^n x_i^2} - \bar{x} + \left( \sqrt{\frac{\sum_{i=1}^n x_i^2}{2n}} \sqrt{\frac{\pi}{2}} \right) - CRE(F_n) \right), \end{aligned} \quad (1.4)$$

نوشت. اما رابطه‌ی (۱.۴) در واقع برآورد  $\frac{CRKL(F_n, F_\theta)}{\theta}$  است که  $\theta$  یک پارامتر مقیاسی است، لذا بهتر است برآورده گری را در نظر  $\frac{CRKL(F_n, F_\theta)}{\theta}$  را مینیمم کند. برآورده گر مینیمم کننده برای توزیع رایلی به صورت بدغیریم که

$$\hat{\theta} = \left( \frac{\sum_{i=1}^n x_i^3}{2n(\bar{x} + CRE(F_n))} \right)^{\frac{1}{3}},$$

حاصل می‌شود و آماره آزمونی که براساس برآورده گر فوق به دست می‌آید برابر

$$T_2 = \frac{-2(\bar{x} + CRE(F_n))}{3 \left( \frac{\sum_{i=1}^n x_i^3}{2n(\bar{x} + CRE(F_n))} \right)^{\frac{1}{3}}} + \sqrt{\frac{\pi}{2}}, \quad (2.4)$$

است.

با توجه به اینکه توزیع دقیق آماره آزمون‌های پیشنهاد شده به راحتی به دست نمی‌آیند، مقادیر بحرانی آماره آزمون‌ها را به کمک شبیه سازی مونت کارلو با ۵۰۰۰۰ تکرار به دست آورده‌ایم. برای این منظور نمونه‌ای به حجم  $n$  از توزیع رایلی با پارامتر  $\theta = 1/\alpha$  در سطح آزمون‌ها نسبت به تبدیلات مقیاسی پایا هستند و بنابراین مقادیر بحرانی به مقدار پارامتر  $\theta$  بستگی ندارند. جدول ۱ مقادیر بحرانی آماره‌های  $T_1$  و  $T_2$  را به ازای حجم نمونه  $n$  و سطوح معناداری ذکر شده، نشان می‌دهد.

جدول ۱: مقادیر بحرانی آماره‌های  $T_1$  و  $T_2$

| $n$ | $T_1$    |          |          | $T_2$    |          |          |
|-----|----------|----------|----------|----------|----------|----------|
|     | $\alpha$ | $\alpha$ | $\alpha$ | $\alpha$ | $\alpha$ | $\alpha$ |
| ۵   | ۰/۲۱۲    | ۰/۱۶۳    | ۰/۱۴۲    | ۰/۲۰۰    | ۰/۱۵۸    | ۰/۱۳۷    |
| ۱۰  | ۰/۱۴۵    | ۰/۱۰۴    | ۰/۰۸۶    | ۰/۱۳۰    | ۰/۰۹۸    | ۰/۰۸۳    |
| ۱۵  | ۰/۱۱۲    | ۰/۰۷۷    | ۰/۰۶۴    | ۰/۱۰۰    | ۰/۰۷۲    | ۰/۰۶۱    |
| ۲۰  | ۰/۰۹۲    | ۰/۰۶۲    | ۰/۰۵۱    | ۰/۰۸۳    | ۰/۰۵۸    | ۰/۰۴۹    |
| ۲۵  | ۰/۰۷۹    | ۰/۰۵۲    | ۰/۰۴۳    | ۰/۰۷۲    | ۰/۰۴۹    | ۰/۰۴۱    |
| ۳۰  | ۰/۰۶۹    | ۰/۰۴۶    | ۰/۰۳۷    | ۰/۰۶۲    | ۰/۰۴۳    | ۰/۰۳۶    |
| ۴۰  | ۰/۰۵۶    | ۰/۰۳۶    | ۰/۰۳۰    | ۰/۰۵۰    | ۰/۰۳۴    | ۰/۰۲۸    |
| ۵۰  | ۰/۰۴۶    | ۰/۰۳۰    | ۰/۰۲۵    | ۰/۰۴۲    | ۰/۰۲۹    | ۰/۰۲۴    |
| ۶۰  | ۰/۰۴۰    | ۰/۰۲۶    | ۰/۰۲۱    | ۰/۰۳۶    | ۰/۰۲۵    | ۰/۰۲۰    |
| ۷۰  | ۰/۰۳۶    | ۰/۰۲۳    | ۰/۰۱۹    | ۰/۰۳۳    | ۰/۰۲۲    | ۰/۰۱۸    |
| ۸۰  | ۰/۰۳۲    | ۰/۰۲۱    | ۰/۰۱۷    | ۰/۰۲۹    | ۰/۰۱۹    | ۰/۰۱۶    |
| ۹۰  | ۰/۰۲۹    | ۰/۰۱۹    | ۰/۰۱۵    | ۰/۰۲۷    | ۰/۰۱۸    | ۰/۰۱۴    |
| ۱۰۰ | ۰/۰۲۷    | ۰/۰۱۷    | ۰/۰۱۴    | ۰/۰۲۵    | ۰/۰۱۶    | ۰/۰۱۳    |

در ادامه توزیع‌های زیر را به عنوان توزیع‌های جانشین در نظر گرفته و توان آزمون‌ها محاسبه شده است:

• توزیع وایل  $W(\theta)$  با تابع چگالی

$$f(x; \theta) = \theta x^{\theta-1} \exp\{-x^\theta\}, \quad \theta > 0, x \geq 0.$$

• توزیع گاما  $\Gamma(\theta)$  با تابع چگالی

$$f(x; \theta) = \frac{x^{\theta-1} \exp\{-x\}}{\Gamma(\theta)}, \quad \theta > 0, x \geq 0.$$

• توزیع لگ-نرمال  $LN(\theta)$  با تابع چگالی

$$f(x; \theta) = \frac{1}{\theta x \sqrt{2\pi}} \exp\left\{-\frac{1}{2\theta^2} (\log x)^2\right\}, \quad \theta > 0, x > 0.$$

• توزیع نیمنرمال  $HN$  با تابع چگالی

$$f(x) = \Gamma\left(\frac{1}{\pi}\right)^{1/2} \exp\left\{-\frac{x^2}{2}\right\}, \quad x \geq 0.$$

• توزیع یکنواخت  $U$  با تابع چگالی

$$f(x) = 1, \quad 0 \leq x \leq 1.$$

• توزیع مقادیر غایی تعدیل یافته  $EV(\theta)$  با تابع چگالی

$$f(x; \theta) = \frac{1}{\theta} \exp\left\{x + \frac{1}{\theta}(1 - e^x)\right\}, \quad \theta > 0, x \geq 0.$$

• توزیع نرخ خطر از کار افتادگی صعودی خطی  $LF(\theta)$  با تابع چگالی

$$f(x; \theta) = (1 + \theta x) \left(-x - \frac{\theta x^2}{2}\right), \quad \theta > 0, x \geq 0.$$

• توزیع دهیلون  $DL(\theta)$  با تابع چگالی

$$f(x; \theta) = \frac{\theta + 1}{x + 1} (\log(x + 1))^{\theta} \exp\{-(\log(x + 1))^{\theta+1}\}, \quad \theta \geq 0, x \geq 0.$$

• توزیع چن  $CH(\theta)$  با تابع چگالی

$$f(x; \theta) = 2\theta x^{\theta-1} \exp\{x^\theta + 2(1 - e^{x^\theta})\}, \quad \theta \geq 0, x \geq 0.$$

• توزیع بتا  $B(\alpha, \beta)$  با تابع چگالی

$$f(x; \alpha, \beta) = \frac{1}{\beta(\alpha, \beta)} x^{\alpha-1} (1-x)^{\beta-1}, \quad \alpha > 0, \beta > 0, 0 < x < 1.$$

با استفاده از شبیه سازی مونت کارلو و تعداد ۵۰۰۰۰ بار تکرار، توان آزمون‌های رایلی بودن را تحت توزیع‌های جانشین متفاوت به دست می‌آوریم. برای این منظور ابتدا نمونه‌هایی به حجم‌های  $n = 10, 20, 30$  تحت هریک از توزیع‌های جانشین تولید کرده و سپس توان هریک از این آزمون‌ها را با استفاده از تعداد دفعاتی که آماره آزمون‌ها از مقادیر بحرانی شان بیشتر هستند به کل تعداد تکرارها، برآورد می‌کنیم. مقادیر توان برای آماره‌های  $T_1, T_2$  و توزیع‌های جانشین در جدول‌های ۲، ۳ و ۴ ارائه شده است. همچنین توان آزمون‌های رقیب در این جدول‌ها نشان داده شده‌اند که در ادامه به آماره‌های آنها اشاره شده است:

## • آماره آزمون کرامر-ون میسر

$$W^* = \sum_{i=1}^n (Z_{(i)} - \frac{2i-1}{2n})^2 + \frac{1}{12n}.$$

## • آماره آزمون کولموگروف [۱۳]

$$D^+ = \max_{1 \leq i \leq n} \left\{ \frac{i}{n} - Z_{(i)} \right\}, \quad D^- = \max_{1 \leq i \leq n} \left\{ Z_{(i)} - \frac{i-1}{n} \right\},$$

$$D = \max(D^+, D^-).$$

## • آماره آزمون اندرسون-دارلینگ [۱۴]

$$A^* = -\frac{1}{n} \sum_{i=1}^n ((2i-1)\{\log(Z_{(i)}) + \log(1-Z_{(i)})\}) - n.$$

## • آماره آزمون واتسون [۱۵]

$$U^* = W^* - n \left( \bar{Z} - \frac{1}{2} \right)^2,$$

که  $W^*$  آماره آزمون کرامر-ون میسر است.

## • آماره آزمون کوپر [۱۶]

$$D^+ = \max_{1 \leq i \leq n} \left\{ \frac{i}{n} - Z_{(i)} \right\}, \quad D^- = \max_{1 \leq i \leq n} \left\{ Z_{(i)} - \frac{i-1}{n} \right\},$$

$$V = D^+ + D^-.$$

در اینجا  $Z_{(i)} = F(x_{(i)})$  و  $\bar{Z} = (1/n) \sum_{i=1}^n Z_{(i)}$  تابع توزیع رایلی است.

• آماره آزمون پیشنهاد شده توسط منتایس و ایلیوپولوس [۱۶] بر اساس تبدیل لاپلاس:

$$L = \frac{n}{b} + \frac{\sqrt{2}}{n} \sum_{j=1}^n \sum_{k=1}^n \left\{ \frac{1}{(\hat{Y}_j + \hat{Y}_k + b)} + \frac{(\hat{Y}_j + \hat{Y}_k)}{(\hat{Y}_j + \hat{Y}_k + b)^2} + \frac{2(\hat{Y}_j \hat{Y}_k + 2)}{(\hat{Y}_j + \hat{Y}_k + b)^3} \right. \\ \left. + \frac{6(\hat{Y}_j + \hat{Y}_k)}{(\hat{Y}_j + \hat{Y}_k + b)^4} + \frac{24}{(\hat{Y}_j + \hat{Y}_k + b)^5} \right\} - 2\sqrt{2} \sum_{j=1}^n \left\{ \frac{1}{(Y_j + b)} + \frac{\hat{Y}_j}{(Y_j + b)^2} + \frac{2}{(Y_j + b)^3} \right\}$$

که  $\hat{\theta}$  برآورده درستنایی ماکسیمم است.

• آماره آزمون ارائه شده توسط براتپور و خدادادی [۱۷] بر اساس آنتروپی ماندهی تجمعی:

$$CK_n = \frac{\sum_{i=1}^{n-1} ((n-i)/n)(\ln((n-i)/n))\{X_{(i+1)} - X_{(i)}\} + \sqrt{\pi/2} \sqrt{\sum_{i=1}^n X_i^3 / 3 \sum_{i=1}^n X_i}}{\bar{X}}.$$

• آماره آزمون پیشنهاد شده توسط علیزاده و همکاران [۱۸] بر اساس اطلاع کولبک-لیبلر:

$$KL_{mn} = -H_{mn} + 2 \log(\hat{\theta}) - \frac{1}{n} \sum_{i=1}^n \log(X_i) + 1,$$

که  $\hat{\theta}$  برآورده درستنایی ماکسیمم  $\theta$  بوده و  $H_{mn}$  به صورت

$$H_{mn} = \frac{1}{n} \sum_{i=1}^n \log \left\{ \frac{n}{2m} (X_{(i+m)} - X_{(i-m)}) \right\} \quad m < n/2,$$

است.

جدول ۲: مقایسه‌ی توان آزمون‌ها برای اندازه نمونه‌ی  $n = 10$  و سطح معنی داری  $\alpha = 0/0.5$ 

| $D$   | $V$   | $W^*$ | $U^*$ | $A^*$ | $L$   | $CK_n$ | $KL_{mn}$ | $T_1$ | $T_2$ | توزیع جاشین     |
|-------|-------|-------|-------|-------|-------|--------|-----------|-------|-------|-----------------|
| ۰/۷۷۴ | ۰/۷۰۶ | ۰/۸۱۲ | ۰/۷۰۶ | ۰/۹۲۵ | ۰/۹۲۵ | ۰/۸۳۴  | ۰/۷۶۴     | ۰/۷۶۳ | ۰/۷۷۲ | $W(0/\lambda)$  |
| ۰/۱۹۴ | ۰/۱۰۸ | ۰/۲۲۴ | ۰/۱۰۷ | ۰/۲۲۳ | ۰/۲۲۳ | ۰/۲۱۴  | ۰/۲۱۴     | ۰/۲۱۴ | ۰/۲۱۴ | $W(1/4)$        |
| ۰/۹۰۰ | ۰/۸۹۸ | ۰/۹۴۹ | ۰/۹۰۱ | ۰/۹۹۲ | ۰/۹۹۱ | ۰/۹۵۵  | ۰/۹۷۷     | ۰/۹۱۹ | ۰/۹۹۹ | $\Gamma(0/4)$   |
| ۰/۵۵۷ | ۰/۴۷۸ | ۰/۶۱۳ | ۰/۴۹۹ | ۰/۷۶۵ | ۰/۷۸۱ | ۰/۶۵۴  | ۰/۴۷۴     | ۰/۵۵۹ | ۰/۵۱۰ | $\Gamma(1)$     |
| ۰/۱۸۱ | ۰/۱۰۰ | ۰/۰۹۰ | ۰/۱۴۱ | ۰/۲۶۵ | ۰/۲۶۰ | ۰/۲۶۵  | ۰/۰۳۷     | ۰/۲۰۷ | ۰/۱۱۵ | $\Gamma(2)$     |
| ۰/۳۸۰ | ۰/۳۱۳ | ۰/۴۲۳ | ۰/۳۱۴ | ۰/۴۵۳ | ۰/۴۵۱ | ۰/۴۶۱  | ۰/۲۱۵     | ۰/۴۲۷ | ۰/۳۸۹ | $LN(0/\lambda)$ |
| ۰/۸۹۰ | ۰/۸۴۷ | ۰/۹۱۰ | ۰/۸۰۱ | ۰/۹۵۶ | ۰/۹۴۴ | ۰/۹۲۰  | ۰/۸۰۵     | ۰/۸۹۱ | ۰/۸۶۹ | $LN(1/5)$       |
| ۰/۲۴۴ | ۰/۲۱۵ | ۰/۲۸۲ | ۰/۲۲۶ | ۰/۴۶۶ | ۰/۴۷۷ | ۰/۲۲۰  | ۰/۲۰۶     | ۰/۲۴۳ | ۰/۲۰۳ | $HN$            |
| ۰/۰۰۳ | ۰/۱۶۳ | ۰/۱۱۹ | ۰/۱۰۵ | ۰/۱۶۸ | ۰/۱۶۷ | ۰/۱۲۳  | ۰/۱۱۲     | ۰/۰۹۱ | ۰/۰۰۰ | $U$             |
| ۰/۹۰۷ | ۰/۸۶۵ | ۰/۹۲۹ | ۰/۸۶۶ | ۰/۹۸۴ | ۰/۹۸۴ | ۰/۹۳۲  | ۰/۹۲۱     | ۰/۸۸۷ | ۰/۸۶۱ | $CH(0/5)$       |
| ۰/۳۱۲ | ۰/۲۶۴ | ۰/۵۰۳ | ۰/۲۷۵ | ۰/۵۴۵ | ۰/۵۵۶ | ۰/۳۷۱  | ۰/۲۰۲     | ۰/۲۸۵ | ۰/۲۴۰ | $CH(1)$         |
| ۰/۰۵۴ | ۰/۰۶۴ | ۰/۰۵۹ | ۰/۰۵۶ | ۰/۰۹۹ | ۰/۰۹۹ | ۰/۰۵۷  | ۰/۰۲۱     | ۰/۰۴۹ | ۰/۰۴۷ | $CH(1/5)$       |
| ۰/۰۰۵ | ۰/۱۷۷ | ۰/۳۳۷ | ۰/۱۸۸ | ۰/۴۰۲ | ۰/۴۰۹ | ۰/۲۸۳  | ۰/۱۶۱     | ۰/۱۹۰ | ۰/۱۶۵ | $LF(2)$         |
| ۰/۱۲۲ | ۰/۱۳۳ | ۰/۱۶۷ | ۰/۱۳۴ | ۰/۳۰۲ | ۰/۳۰۸ | ۰/۱۹۵  | ۰/۱۱۳     | ۰/۱۴۱ | ۰/۱۱۶ | $LF(4)$         |
| ۰/۰۰۹ | ۰/۲۷۱ | ۰/۵۰۰ | ۰/۲۷۰ | ۰/۵۴۲ | ۰/۵۷۴ | ۰/۲۸۵  | ۰/۲۲۸     | ۰/۲۸۴ | ۰/۲۳۶ | $EV(0/5)$       |
| ۰/۱۳۲ | ۰/۱۳۸ | ۰/۱۵۰ | ۰/۱۳۴ | ۰/۳۱۰ | ۰/۲۹۷ | ۰/۱۵۲  | ۰/۱۲۶     | ۰/۰۴  | ۰/۰۸۵ | $EV(1/5)$       |
| ۰/۴۳۳ | ۰/۲۹۵ | ۰/۴۱۰ | ۰/۲۴۶ | ۰/۸۷۲ | ۰/۸۴۶ | ۰/۴۵۰  | ۰/۰۲      | ۰/۴۰۳ | ۰/۴۰۳ | $DL(1)$         |
| ۰/۱۹۴ | ۰/۱۰۰ | ۰/۰۶۰ | ۰/۱۱۰ | ۰/۱۸۵ | ۰/۱۸۱ | ۰/۲۰۶  | ۰/۰۹۰     | ۰/۱۸۲ | ۰/۱۵۷ | $DL(1/5)$       |
| ۰/۷۸۲ | ۰/۳۵۰ | ۰/۷۶۳ | ۰/۳۴۴ | ۰/۳۰۷ | ۰/۲۰۱ | ۰/۳۹۶  | ۰/۰۴۰     | ۰/۴۶۵ | ۰/۰۵۶ | $B(2,1)$        |
| ۰/۳۳۹ | ۰/۴۸۴ | ۰/۴۹۵ | ۰/۴۹۹ | ۰/۷۴۹ | ۰/۵۷۹ | ۰/۴۵۲  | ۰/۶۷۹     | ۰/۳۵۰ | ۰/۲۶۳ | $B(0/5,0/5)$    |
| ۰/۰۰۱ | ۰/۰۹۱ | ۰/۰۹۲ | ۰/۰۹۳ | ۰/۰۷۵ | ۰/۰۷۰ | ۰/۰۶۰  | ۰/۰۷      | ۰/۰۹۰ | ۰/۰۷۰ | $B(2,2)$        |
| ۰/۲۹۰ | ۰/۳۱۵ | ۰/۴۶۴ | ۰/۳۴۴ | ۰/۳۰۱ | ۰/۲۸۳ | ۰/۲۸۵  | ۰/۴۱۴     | ۰/۲۵۹ | ۰/۲۹۴ | $B(3,2)$        |
| ۰/۶۶۷ | ۰/۸۲۰ | ۰/۰۰۴ | ۰/۷۹۶ | ۰/۷۵۹ | ۰/۵۵۸ | ۰/۸۹۵  | ۰/۹۱۵     | ۰/۹۲۲ | ۰/۹۳۶ | $B(2,0/5)$      |

جدول ۳: مقایسه‌ی توان آزمون‌ها برای اندازه نمونه‌ی  $n = 20$  و سطح معنی داری  $\alpha = 0/0.5$ 

| $D$   | $V$   | $W^*$ | $U^*$ | $A^*$ | $L$   | $CK_n$ | $KL_{mn}$ | $T_1$ | $T_2$ | توزیع جاشین     |
|-------|-------|-------|-------|-------|-------|--------|-----------|-------|-------|-----------------|
| ۰/۹۷۶ | ۰/۹۴۵ | ۰/۹۸۵ | ۰/۹۵۱ | ۰/۹۹۷ | ۰/۹۹۷ | ۰/۹۷۶  | ۰/۹۶۱     | ۰/۹۵۰ | ۰/۹۵۰ | $W(0/\lambda)$  |
| ۰/۴۲۸ | ۰/۲۷۴ | ۰/۴۱۷ | ۰/۲۹۲ | ۰/۲۲۴ | ۰/۵۶۵ | ۰/۴۲۷  | ۰/۲۱۱     | ۰/۳۷۳ | ۰/۳۳۳ | $W(1/4)$        |
| ۰/۹۹۹ | ۰/۹۹۰ | ۰/۹۹۵ | ۰/۹۹۶ | ۰/۱۰۰ | ۰/۱۰۰ | ۰/۹۹۰  | ۰/۹۹۰     | ۰/۹۹۶ | ۰/۹۹۶ | $\Gamma(0/4)$   |
| ۰/۸۷۷ | ۰/۷۷۶ | ۰/۹۶۵ | ۰/۷۵۰ | ۰/۹۵۱ | ۰/۹۶۵ | ۰/۸۸۷  | ۰/۸۷۷     | ۰/۸۳۷ | ۰/۸۰۳ | $\Gamma(1)$     |
| ۰/۲۲۴ | ۰/۲۳۰ | ۰/۳۶۷ | ۰/۲۵۰ | ۰/۲۲۱ | ۰/۴۵۲ | ۰/۴۰۴  | ۰/۱۷۷     | ۰/۳۶۸ | ۰/۳۳۱ | $\Gamma(2)$     |
| ۰/۶۶۴ | ۰/۰۴۵ | ۰/۰۴۲ | ۰/۵۷۴ | ۰/۷۱۷ | ۰/۷۱۴ | ۰/۷۱۱  | ۰/۵۰۱     | ۰/۷۰۳ | ۰/۶۴۲ | $LN(0/\lambda)$ |
| ۰/۹۹۵ | ۰/۹۸۹ | ۰/۹۹۷ | ۰/۹۹۲ | ۰/۹۹۹ | ۰/۹۹۹ | ۰/۹۹۳  | ۰/۹۹۳     | ۰/۹۹۴ | ۰/۹۹۱ | $LN(1/5)$       |
| ۰/۴۶۹ | ۰/۲۸۴ | ۰/۰۲۳ | ۰/۴۱۲ | ۰/۰۳  | ۰/۷۷۸ | ۰/۴۹۵  | ۰/۴۴۴     | ۰/۴۰۳ | ۰/۴۰۷ | $HN$            |
| ۰/۱۵۴ | ۰/۲۶۲ | ۰/۱۸۱ | ۰/۲۸۱ | ۰/۲۸۵ | ۰/۲۶۶ | ۰/۲۱۰  | ۰/۴۵۳     | ۰/۱۸۴ | ۰/۱۱۴ | $U$             |
| ۰/۰۹۸ | ۰/۹۹۲ | ۰/۹۹۰ | ۰/۹۹۰ | ۰/۰۰۰ | ۰/۰۰۰ | ۰/۹۹۰  | ۰/۹۹۰     | ۰/۹۹۰ | ۰/۹۹۰ | $CH(0/5)$       |
| ۰/۵۵۳ | ۰/۴۶۱ | ۰/۶۰۳ | ۰/۵۰۶ | ۰/۷۷۷ | ۰/۸۰۳ | ۰/۵۶۹  | ۰/۵۲۸     | ۰/۴۸۰ | ۰/۴۲۵ | $CH(1)$         |
| ۰/۰۶۹ | ۰/۰۷۶ | ۰/۰۶۸ | ۰/۰۷۶ | ۰/۱۱۹ | ۰/۱۱۱ | ۰/۰۴۰  | ۰/۰۷۱     | ۰/۰۴۳ | ۰/۰۴۲ | $CH(1/5)$       |
| ۰/۳۷۹ | ۰/۳۰۴ | ۰/۴۲۷ | ۰/۳۳۷ | ۰/۶۰۶ | ۰/۶۳۳ | ۰/۴۰۸  | ۰/۳۵۷     | ۰/۳۳۵ | ۰/۲۸۸ | $LF(2)$         |
| ۰/۷۵۹ | ۰/۲۱۴ | ۰/۲۲۵ | ۰/۴۲۵ | ۰/۴۴۷ | ۰/۴۹۳ | ۰/۲۸۷  | ۰/۲۲۹     | ۰/۲۲۵ | ۰/۱۹۰ | $LF(4)$         |
| ۰/۰۵۷ | ۰/۴۷۱ | ۰/۶۰۹ | ۰/۴۹۷ | ۰/۷۷۷ | ۰/۸۰۲ | ۰/۵۷۷  | ۰/۵۴۱     | ۰/۴۲۸ | ۰/۴۲۸ | $EV(0/5)$       |
| ۰/۲۲۸ | ۰/۲۲۱ | ۰/۵۱۰ | ۰/۲۲۰ | ۰/۴۵۸ | ۰/۴۶۵ | ۰/۱۹۰  | ۰/۲۲۴     | ۰/۱۳۶ | ۰/۱۱۶ | $EV(1/5)$       |
| ۰/۶۴۷ | ۰/۵۳۰ | ۰/۶۹۶ | ۰/۵۰۶ | ۰/۷۴۴ | ۰/۷۲۸ | ۰/۷۱۲  | ۰/۴۷۵     | ۰/۶۷۴ | ۰/۶۳۶ | $DL(1)$         |
| ۰/۰۲۵ | ۰/۱۷۱ | ۰/۸۲۴ | ۰/۱۰۰ | ۰/۷۰۴ | ۰/۷۰۴ | ۰/۳۰۸  | ۰/۱۳۰     | ۰/۲۲۱ | ۰/۲۲۱ | $DL(1/5)$       |
| ۰/۰۵۰ | ۰/۶۶۲ | ۰/۶۰۳ | ۰/۷۰۷ | ۰/۴۶۸ | ۰/۴۶۸ | ۰/۳۹۶  | ۰/۸۳۰     | ۰/۸۳۰ | ۰/۸۸۴ | $B(2,1)$        |
| ۰/۰۹۳ | ۰/۷۸۵ | ۰/۰۹۱ | ۰/۸۰۹ | ۰/۹۲۸ | ۰/۷۷۹ | ۰/۷۹۰  | ۰/۶۴۵     | ۰/۷۰۳ | ۰/۷۳۲ | $B(0/5,0/5)$    |
| ۰/۱۱۳ | ۰/۱۱۶ | ۰/۱۳۴ | ۰/۱۱۸ | ۰/۰۷۰ | ۰/۰۹۸ | ۰/۱۵۱  | ۰/۱۴۲     | ۰/۱۷۱ | ۰/۱۹۴ | $B(2,2)$        |
| ۰/۵۳۷ | ۰/۵۹۱ | ۰/۶۸۸ | ۰/۵۰۵ | ۰/۶۳۴ | ۰/۶۳۹ | ۰/۷۰۵  | ۰/۶۸۳     | ۰/۷۴۰ | ۰/۶۶۶ | $B(2,2)$        |
| ۰/۹۳۸ | ۰/۹۹۲ | ۰/۹۸۷ | ۰/۹۸۳ | ۰/۸۷۴ | ۰/۸۷۴ | ۰/۹۰۰  | ۰/۹۹۹     | ۰/۹۹۹ | ۰/۰۰۰ | $B(2,0/5)$      |

جدول ۴: مقایسه‌ی توان آزمون‌ها برای اندازه نمونه‌ی  $n = ۳۰$  و سطح معنی داری  $\alpha = 0/0.5$ 

| $D$   | $V$   | $W^*$ | $U^*$ | $A^*$ | $L$   | $CK_n$ | $KL_{mn}$ | $T_1$     | $T_2$ | توزیع جاشین     |
|-------|-------|-------|-------|-------|-------|--------|-----------|-----------|-------|-----------------|
| ۰/۹۹۸ | ۰/۹۹۳ | ۰/۹۹۹ | ۰/۹۹۳ | ۱/۰۰۰ | ۱/۰۰۰ | ۰/۹۹۷  | ۰/۹۹۹     | ۰/۹۹۵     | ۰/۹۹۳ | $W(0/\lambda)$  |
| ۰/۵۲۴ | ۰/۴۱۲ | ۰/۵۸۴ | ۰/۴۳۹ | ۰/۹۹۲ | ۰/۷۲۸ | ۰/۵۷۲  | ۰/۴۱۳     | ۰/۴۹۰     | ۰/۴۴۶ | $W(1/4)$        |
| ۱/۰۰۰ | ۰/۰۰۰ | ۰/۰۰۰ | ۰/۰۰۰ | ۰/۰۰۰ | ۰/۰۰۰ | ۰/۰۰۰  | ۰/۰۰۰     | ۰/۰۰۰     | ۰/۰۰۰ | $\Gamma(0/4)$   |
| ۰/۹۹۴ | ۰/۹۷۷ | ۰/۹۷۸ | ۰/۹۷۷ | ۰/۹۹۱ | ۰/۹۹۶ | ۰/۹۶۰  | ۰/۹۶۱     | ۰/۹۴۵     | ۰/۹۲۸ | $\Gamma(1)$     |
| ۰/۴۶۰ | ۰/۳۴۰ | ۰/۵۱۱ | ۰/۳۴۲ | ۰/۵۶۵ | ۰/۵۶۵ | ۰/۵۴۲  | ۰/۲۹۹     | ۰/۴۹۵     | ۰/۴۶۶ | $\Gamma(2)$     |
| ۰/۸۳۰ | ۰/۷۳۴ | ۰/۸۶۱ | ۰/۷۵۴ | ۰/۸۶۴ | ۰/۸۵۸ | ۰/۸۶۶  | ۰/۶۸۹     | ۰/۸۴۷     | ۰/۸۲۸ | $LN(0/\lambda)$ |
| ۱/۰۰۰ | ۰/۰۰۰ | ۰/۰۰۰ | ۰/۰۰۰ | ۰/۰۰۰ | ۰/۰۰۰ | ۰/۰۰۰  | ۰/۰۰۰     | ۰/۰۰۰     | ۰/۰۰۰ | $LN(1/5)$       |
| ۰/۶۴۹ | ۰/۵۵۱ | ۰/۵۰۷ | ۰/۵۸۰ | ۰/۸۴۷ | ۰/۸۴۷ | ۰/۶۴۵  | ۰/۶۴۵     | ۰/۶۳۵     | ۰/۴۸۲ | $HN$            |
| ۰/۲۲۲ | ۰/۳۹۱ | ۰/۷۸۰ | ۰/۴۱۱ | ۰/۷۲۲ | ۰/۷۲۲ | ۰/۳۶۹  | ۰/۷۱۲     | ۰/۷۳۳     | ۰/۷۴۷ | $U$             |
| ۱/۰۰۰ | ۱/۰۰۰ | ۱/۰۰۰ | ۱/۰۰۰ | ۱/۰۰۰ | ۱/۰۰۰ | ۱/۰۰۰  | ۱/۰۰۰     | ۱/۰۰۰     | ۱/۰۰۰ | $CH(0/5)$       |
| ۰/۷۹۹ | ۰/۶۶۱ | ۰/۷۹۵ | ۰/۹۰۸ | ۰/۹۰۷ | ۰/۷۲۳ | ۰/۷۲۵  | ۰/۶۲۵     | ۰/۶۲۵     | ۰/۵۷۵ | $CH(1)$         |
| ۰/۰۷۹ | ۰/۰۹۴ | ۰/۰۸۱ | ۰/۰۹۹ | ۰/۱۲۳ | ۰/۱۲۷ | ۰/۰۴۸  | ۰/۰۹۳     | ۰/۰۴۱     | ۰/۰۴۲ | $CH(1/5)$       |
| ۰/۰۵۴ | ۰/۴۵۳ | ۰/۰۹۷ | ۰/۴۴۴ | ۰/۶۶۸ | ۰/۷۸۳ | ۰/۵۱۴  | ۰/۵۳۳     | ۰/۴۴۰     | ۰/۴۹۳ | $LF(2)$         |
| ۰/۳۷۹ | ۰/۲۱۲ | ۰/۴۳۳ | ۰/۳۴۰ | ۰/۸۱۸ | ۰/۸۱۸ | ۰/۴۲۵  | ۰/۲۸۲     | ۰/۲۷۹</td |       |                 |

با توجه به جدول‌های (۲) و (۳) برای حجم نمونه  $n = ۲۰$  آماره آزمون پیشنهادی  $T_2$  در مقابل توزیع‌های جانشین (۱) و  $B(2, ۰/۵)$  دارای بیشترین توان است و با توان سایر آزمون‌ها اختلاف زیادی دارد. همچنین برای آزمون  $n = ۲۰$  در مقابل توزیع  $B(3, ۲)$  دارای بیشترین توان است. در مقابل سایر توزیع‌های جانشین توان آزمون پیشنهادی با توان آزمون‌های رقیب اختلاف چندانی ندارد.

از جدول (۴) مشاهده می‌شود که برای حجم نمونه  $n = ۳۰$  آماره آزمون پیشنهادی  $T_2$  در مقابل توزیع‌های جانشین (۱)،  $B(2, ۲)$  و  $B(2, ۰/۵)$  دارای بیشترین توان است و با توان سایر آزمون‌ها اختلاف زیادی دارد. به طور کلی از جدول‌های شبیه سازی توان‌ها مشاهده می‌شود، آزمون‌های پیشنهادی در مقایسه با آزمون‌های رقیب عملکرد نسبتاً خوبی دارند و برای فرضیه‌های جانشین بتاز توان بالاتری برخوردارند.

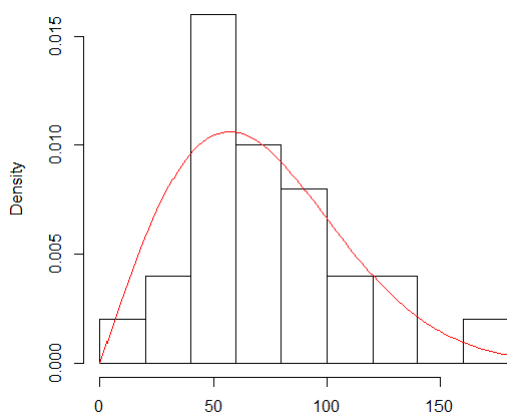
## ۵ کاربرد برای داده‌های واقعی

در این بخش یک مجموعه داده‌ی واقعی در نظر گرفته شده و به کمک آزمون‌های پیشنهادی این مجموعه داده تجزیه و تحلیل شده است.

مثال ۱.۵. داده‌های ارائه شده در جدول ۵، را در نظر می‌گیریم. این داده‌ها مربوط به تعداد دفعات شکست بلبرینگ در آزمون استقامت است که توسط کارونی [۴] ارائه و تحلیل شده است. نویسنده‌گانی مانند براتپور و خدادادی [۵]، جهانشاهی و همکاران [۱۰] و صفوی‌نژاد و همکاران [۲۲] نیز این داده‌ها را تجزیه و تحلیل کرده‌اند. به علت استفاده زیاد نویسنده‌گان از این داده‌ها ما نیز این داده‌ها را به کار می‌بریم. هیستوگرام مجموعه داده‌ها، در شکل ۱ نشان داده شده است.

جدول ۵: تعداد دفعات شکست ۲۵ بلبرینگ در آزمون استقامت

|        |        |        |        |        |       |       |       |       |       |
|--------|--------|--------|--------|--------|-------|-------|-------|-------|-------|
| ۱۷/۸۸  | ۲۸/۹۲  | ۳۳/۰۰  | ۴۱/۵۲  | ۴۲/۱۲  | ۴۵/۶۰ | ۴۸/۴۸ | ۵۱/۸۴ | ۵۱/۹۶ | ۵۴/۱۲ |
| ۵۵/۵۶  | ۶۷/۸۰  | ۶۷/۸۰  | ۶۷/۸۰  | ۶۸/۶۴  | ۸۶/۶۴ | ۶۸/۸۸ | ۸۴/۱۲ | ۹۳/۱۲ | ۹۸/۶۴ |
| ۱۰۵/۱۲ | ۱۰۵/۸۴ | ۱۲۷/۹۲ | ۱۲۸/۰۴ | ۱۷۳/۴۰ |       |       |       |       |       |



شکل ۱: هیستوگرام تعداد دفعات شکست بلبرینگ‌ها

در اینجا از آماره آزمون‌های (۱.۴) و (۲.۴) برای بررسی این که آیا داده‌ها از توزیع رایلی پیروی می‌کنند یا خیر استفاده شده است. برآورد درستنمایی ماکسیمم پارامتر  $\theta$  به صورت

$$\hat{\theta} = ۵۷/۰۷۶,$$

است. مقادیر بحرانی، مقادیر آماره آزمون‌ها و همچنین  $p$ -مقدار تعریف شده به ازای آماره آزمون‌های (۱.۴)، (۲.۴)، آزمون کولموگروف-اسمبئنوف ( $D$ )، آزمون کوبیر ( $V$ )، آزمون کرامر-وان میسز ( $W^2$ )، آزمون واتسون ( $U^2$ )، آزمون اندرسون-دارلینگ ( $A^2$ ) در جدول ۶ ارائه شده‌اند.

جدول ۶: مقادیر بحرانی، مقادیر آماره و  $p$ -مقدار آزمون‌ها

|       | $p$ -مقدار | آماره آزمون | مقدار بحرانی |
|-------|------------|-------------|--------------|
| $D$   | ۰/۶۲۰      | ۰/۱۲۳       | ۰/۲۰۹        |
| $V$   | ۱/۰۰۰      | ۰/۲۳۵       | ۰/۳۱۸        |
| $W^*$ | ۰/۷۹۹      | ۰/۰۲۵       | ۰/۲۱۷        |
| $U^*$ | ۰/۶۱۹      | ۰/۰۵۱       | ۰/۱۵۸        |
| $A^*$ | ۰/۸۲۱      | ۰/۳۴۲       | ۱/۲۸۹        |
| $T_1$ | ۰/۹۲۶      | ۰/۰۱۳۰۹     | ۰/۰۵۲۱       |
| $T_2$ | ۰/۹۲۱      | ۰/۰۱۳۰۸     | ۰/۰۴۹۲       |

همان طور که در جدول ۶ مشاهده می‌شود، تمام آزمون‌های ذکر شده در آزمون نیکویی برآش با سطح معناداری ۵ درصد نتیجه‌ی یکسانی را دهند. از آنجا که  $p$ -مقدار آزمون‌های  $T_1$  و  $T_2$  به ترتیب برابر با ۰/۹۲۶ و ۰/۹۲۱ هستند، لذا فرضیه‌ی صفر مبنی بر این که تعداد دفعات شکست بلرینگ‌ها از توزیع رایلی پیروی می‌کنند رد نمی‌شود و این آزمون‌ها نتیجه‌ی ارائه شده توسط سایر آزمون‌ها را تایید می‌کنند.

## ۶ نتیجه‌گیری

در این مقاله برخی از تعمیم‌های اطلاع کولبک-لیبلر مانده‌ی تجمعی ( $CRKL$ ) و آنتربویی مانده‌ی تجمعی ( $CRE$ ) را قادر ساخت تا با استفاده از برآورد گشتاوری، توزیع ماکسیمم آنتربویی مانده‌ی تجمعی را ارائه دهیم. همچنین در رابطه با دو روش برآورد پارامتر براساس اطلاع کولبک-لیبلر مانده‌ی تجمعی و آنتربویی مانده‌ی تجمعی بحث شد. سپس، کاربرد اطلاع کولبک-لیبلر مانده‌ی تجمعی به عنوان یک آماره آزمون نیکویی برآش برای توزیع رایلی بررسی شد. پس از آن توزیع‌های آماره‌های رقیب ارائه داده و به کمک شبیه سازی مونت کارلو توان آزمون‌ها محاسبه شد. به طور کلی از شبیه سازی توان آزمون‌ها مشاهده شد که آزمون‌های پیشنهادی در مقایسه با آزمون‌های رقیب عملکرد نسبتاً خوبی دارند و برای فرضیه‌های جانشین بتا دارای بیشترین توان هستند. در آخر یک مثال واقعی بیان کرده و نتایج آن برای آماره‌های پیشنهاد شده ارائه شد.

## فهرست منابع

- [1] Alizadeh Noughabi, R., & Alizadeh Noughabi, H., & Ebrahimi Moghaddam Behabadi, A., (2014) . An entropy test for the Rayleigh distribution and power comparison. *Journal of Statistical Computation and Simulation*, 84 , 151-158 .
- [2] Anderson, T.W., & Darling, D.A., (1954) . A test of goodness of fit. *Journal of American Statistical Association*, 49 , 765-769 .
- [3] Arizono, I., & Ohta, H., (1989) . A test for normality based on Kullback-Leibler information. *The American Statistician*, 43 , 20-22 .
- [4] Balakrishnan, N., & Rad, A.H., & Arghami, N.R., (2007) . Testing exponentiality based on Kullback-Leibler information with progressively Type-II censored data. *IEEE Transactions on Reliability*, 56 , 349-356 .
- [5] Baratpour, S., & Khodadadi, F., (2012) . A cumulative residual entropy characterization of the Rayleigh distribution and related goodness-of-fit test. *Journal of Statistical Research of Iran*, 9 , 115-131 .
- [6] Baratpour, S., & Rad, A.H., (2012) . Testing goodness-of fit for exponential distribution based on cumulative residual entropy. *Communications in Statistics Theory and Methods*, 41 , 1387-1396 .

- [7] Caroni, C., (2002) . The correct ball bearing data. *Lifetime Data Analysis*, 8 , 395-399 .
- [8] Ciumara, R., & Panait, I.I., (2018) . On Generalized Cumulative Information of Kullback-Leibler Type. *Order*, 2 , 1 .
- [9] Di Crescenzo, A., & Longobardi, M., (2009) . On cumulative entropies. *Journal of Statistical Planning and Inference*, 139 , 4072-4087 .
- [10] Jahanshahi, S.M.A., & Habibi Rad, A., & Fakoori, V., (2016) . A goodness of fit test Rayleigh distribution based on Hellinger distance. *Annals of Data Science*, 3 , 401-411 .
- [11] Khorashadizadeh, M., (2018) . More results on dynamic cumulative inaccuracy measure. *JIRSS-Journal of The Iranian Statistical Society*, 17(1) , 89-108 .
- [12] Khorashadizadeh, M., & Roknabadi, A.R., & Borzadaran, G.M., (2016) . Discrete dynamic cumulative residual entropy. *International Journal of Reliability and Safety*, 10(3) , 210-226 .
- [13] Kolmogorov, A.N., (1933) . Sulla Determinazione Empirica di une legge di Distribuzione. *Giornale dell'Intituto Italiano degli Attuari*, 4 , 83-91 .
- [14] Kullback, S., (1959) . Information Theory and Statistics. *Wiley, NY*.
- [15] Kuiper, N.H., (1960) . Tests concerning random points on a circle. *Proceedings of the Koninklijke Nederlandse Akademie van Wetenschappen, Series A*, 63 , 38-47 .
- [16] Meintanis, S., & Iliopoulos, G., (2003) . Test of fit for the Rayleigh distribution based on the empirical Laplace transform. *Annals of the Institute of Statistical Mathematics*, 55 , 137-151 .
- [17] Navarro, J., & Aguila, Y., & Asadi, M., (2010) . Some new result on the cumulative residual entropy. *Journal of Statistical Planning and Inference*, 140 , 310-322 .
- [18] Park, S., & Noughabi, H.A., & Kim, I., (2018) . General cumulative Kullback-Leibler information. *Communications in Statistics-Theory and Methods*, 47(7) , 1551-1560 .
- [19] Park, S., & Rao, M., & Shin, D.W., (2012) . On cumulative residual Kullback-Leibler information. *Statistics and Probability Letters*, 82 , 2025-2032 .
- [20] Park, S., & Pakyari, R., (2015) . Cumulative residual Kullback-Leibler information with the progressively Type-II censored data. *Statistics and Probability Letters*, 106 , 287-294 .
- [21] Rao, M., & Chen, Y., & Vemuri, B.C., & Wang, F., (2004) . Cumulative residual entropy: a new measure of information. *IEEE Transactions on Information theory*, 50 , 1220-1228 .
- [22] Safavinejad, M., & Jomhoori, S., & Alizadeh Noughabi, H., (2015) . A devstiy based empirical likelihood ratio goodness of fit test for the Rayleigh distribution and power comparison. *Jornal of Statistical Computation and Simulation*, 85 , 3322-3334 .
- [23] Shannon, C.E., (1948) . A Mathematical of Communication. *Bell System Technical Journal*, 27 , 379-423 .
- [24] Sunoj, S.M., & Sankaran, P.G., & Unnikrishnan Nair, N., (2018) . Quantile-based cumulative Kullback-Leibler divergence. *Statistics*, 52(1) , 1-17 .
- [25] Watson, G.S., (1961) . Goodness of fit tests on a circle. *Biometrika*, 48 , 109-114 .

- [26] Zohrevand, Y., & Hashemi, R., & Asadi, M., (2020) . An adjusted cumulative Kullback-Leibler information with application to test of exponentiality. *Communications in Statistics-Theory and Methods*, 49(1) , 44-60 .



## Some extensions of Kullback-Leibler information based on survival function

Hedieh Eftekhari Moodi, Hadi Alizadeh Noughabi <sup>††</sup>, Mohammad Khorashadizadeh

Department of Statistics, University of Birjand, Birjand , Iran.

Communicated by: G.R. Mohtashami Borzadaran

Received: 2020/11/18

Accepted: 2021/2/23

**Abstract:** In this article, we first investigate some extensions of the Kullback-Leibler information and their properties. Then, we consider the moment constraints for the maximum distribution of cumulative residual entropy and investigate the relationship between the cumulative residual Kullback-Leibler information (CRKL) and cumulative residual entropy (CRE). We also discuss the methods for estimating the scale parameter of Rayleigh distribution and provide two estimation methods. In the following we use cumulative residual Kullback-Leibler information as a goodness of fit test statistic. Then we compute the critical values and the power of proposed tests and compare the power values with the power of other tests. Finally, we apply the tests for a real data set.

**Keywords:** Goodness of fit test, Cumulative residual entropy, Kullback-Leibler information, Cumulative residual Kullback-Leibler information, Power of test, Monte Carlo simulation.

**Mathematics Subject Classification (2010):** 62G10, 62G20.



©2021 Shahid Chamran University of Ahvaz, Ahvaz, Iran. This article is an open access article distributed under the terms and conditions of the Creative Commons Attribution-NonComertial 4.0 International (CC BY-NC 4.0 license) (<http://creativecommons.org/licenses/by-nc/4.0/>).

---

<sup>††</sup>Corresponding author.

E-mail addresses: [alizadehhadi@birjand.ac.ir](mailto:alizadehhadi@birjand.ac.ir) (Hadi Alizadeh Noughabi)